

○ 大阪大学工学部 正員 横木 亨
運輸省第一港建 正員 田端 竹千穂

1. 緒言：近年従来規則波を対象として設計が行なわれてきた海岸構造物の遇上高さについても、波の不規則性の解析が進められると平行して、入射波スペクトル特性と波の遇上分布の関係について研究が進められている。すなわち、この不規則波による波の遇上についてはすでにBretschneider, Saville, Battjes, Oorshot, 及び d'Angremond, Webber, 堀川らが遇上高さの分布、遇上高さの分布周数、併ら併に遇上高さのスペクトル比を明らかにしている。この中でBattjes(1971)が示した規則波の遇上高さの算定式にもとづいて、波高と周期の2乗の joint 分布より遇上高さの確率分布及び確率密度函数を求めていながら、このようでは従来の規則波の遇上高さと不規則波の遇上高さの統計的特性との関係を明らかにすることは今後の不規則波の遇上高さの特性を解析していく上に極めて重要な事項と考えられる。本報告は、不規則波の遇上高さの解析の中一報として、不規則波生成装置を用いて行なった実験結果にもとづいて、不規則波の遇上高さと入射有義波特性との相関性及び遇上高さの特性について明らかにしておこうとするものである。

2. 実験方法と入射波特性：造波装置下フランジ式造波装置に不規則可振装置を連結した不規則波生成装置を行い、水路一端に $1/10$, $1/5$, $1/2$, $1/1$ の3種類の法面勾配を有する傾斜壁を設置し、スペクトルの極大周期 $0.75 \text{ c.p.s.} \sim 1.25 \text{ c.p.s.}$ を示す不規則波6種類を作成せしめてその遇上高さを 16 cm カメラでとらえて解析を進めた。 TFH 水深 $15.5 \text{ cm} \sim 64 \text{ cm}$ という値を与えている。入射波のスペクトル及び遇上高さのスペクトル解析においてはBlackman-Tukeyの方法を行つた。 TFH 遇上スペクトルの資料は $3000 \sim 4000$ コマ($30 \frac{\text{deg}}{\text{sec}}$)であり、資料数は入射波とは一致している。図-1は用いた入射波のスペクトルの一例であり、表-1はそれぞれの実験ケースに応じて入射波特性を示す。表中の H_1 はスペクトル中、 H_1/\bar{H} は平均波高、平均波長であるとの波高分布 $f(H)$ 比較的Rayleigh 分布に近い分布形をとる場合。

表-1 入射波の特性

case	1	2	3	4	5	6	7	8	9	10
i	$1/10$	$1/5$	$1/5$	$1/4$	$1/2$	$1/2$	$1/2$	$1/2$	$1/2$	$1/2$
peak(c.p.s.)	0.90	0.75	0.75	1.20	0.75	0.75	1.05	1.10	1.20	1.25
E	0.53	0.46	0.44	0.35	0.49	0.52	0.42	0.43	0.34	0.39
H_1/\bar{H}	1.56	1.57	1.55	1.51	1.56	1.51	1.43	1.43	1.46	1.48
H_10/H_1	1.25	1.22	1.23	1.21	1.24	1.19	1.24	1.29	1.24	1.25
L_10/L	1.56	1.46	1.49	1.49	1.46	1.53	1.52	1.60	1.45	1.51

なお表-1の法面勾配と水深との関係からも想定されるように、本実験においては表-1のCase 1～4では斜面上で完全に碎波して遇上するが、Case 5～10の場合下法面上で完全に碎波する。

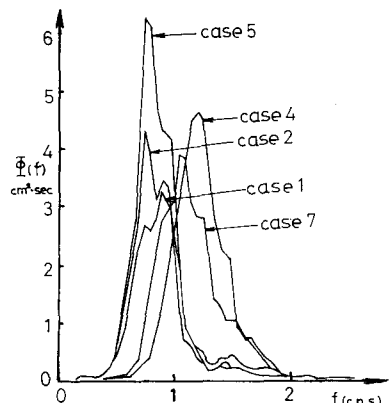


図-1 入射波のスペクトル

ことがなく一部碎波する状態が観察された。

3. 週上高さの分布：先に述べたように Battjes による週上高さの確率密度関数を理論的に求め、十分飛遠した海の場合には週上高さも レーリー 分布を示すことを導いている。図-2は週上高さの分布と入射波の分布と同様にして求めたレーリー 分布曲線との比較をしたものの一例であり、図中の \bar{R} は週上高さ R の平均値を示す。また表-2は週上高さの特性値を示す。

表-2 週上高さの特性

Case	1	2	3	4	5	6	7	8	9	10
R_{10}/\bar{R}	1.55	1.42	1.58	1.51	1.81	1.78	1.80	1.69	1.70	1.73
R_{10}/R_{10}	1.27	1.23	1.28	1.27	1.31	1.32	1.29	1.44	1.39	1.37

図-2からわかるように $i = 1/10 \sim 1/6$ の場合で斜面上で碎波する場合の週上高さの分布は比較的よくレーリー 分布と一致しているが、斜面上で碎波しない $i = 1/2$ の場合の週上高さ(週上高さの低い部分で大きい頻度を示しレーリー 分布と一致する)とはいえまい。この差は表-2において示した R_{10}/\bar{R} 及び R_{10}/R_{10} においても明らかである。又 $i = 1/10 \sim 1/6$ の case 1~4 の場合に R_{10}/\bar{R} の値は R_{10}/\bar{R} の値よりも下回り値を示すに対し、 $i = 1/2$ の case 5~10 の場合に R_{10}/\bar{R} の方が R_{10}/\bar{R} の値より下るかに大きい値を示している。

4. 不規則波週上高さと入射有義波特性との相関性：Hunt によると週上高さと入射波特性との関係は、波が斜面上で碎波する場合、次式で与えられており。

$$R_{10}/\bar{R} = (1.27 \tan \alpha) / (H_0/\tau_p)^{1/2} : (\text{m-sec 単位})$$

そこでここで与えた入射波の特性値から有義波高 H_0 、有義周期 T_m 、 T_{10} (H_0 有義波高に対応する周期より求めた値) を用いて上式より算定した値(R_{10} , R_{10}/\bar{R})と実際測定された週上高さより求めた有義週上高(\bar{R}_{10})を比較したのが図-3である。作成図-3では有義波高と同じ波高をもつ規則波によって実験生じた週上高さ R_{10} を除して無次元化してある。この図においても先の斜面勾配の結果は明らかにあらわれ、 $i = 1/10 \sim 1/6$ の場合に Hult の式で算定して得た実際の週上高さよりも小さくあらわれ規則波を対象として算定した結果よりも複側の算定結果といえる。一方 $i = 1/2$ の場合に $i = 1/10 \sim 1/6$ の場合と逆の結果を示しているが、これは Hunt の式の適用外で算定値を求めていたので当然といえよう。

5. 週上高さのスペクトル：図-4は週上スペクトルの一例であって比較のために同時に入射スペクトルをも示している。この図からわかるように週上スペクトルのスペクトルピークが入射波のそれより低周波側にずれている。

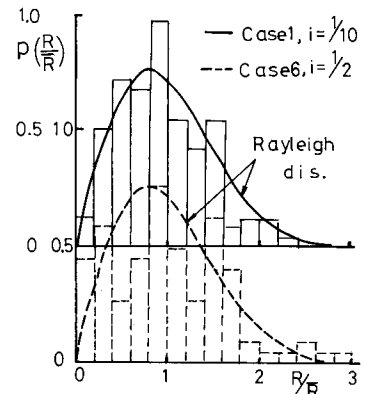


図-2 週上高さの分布

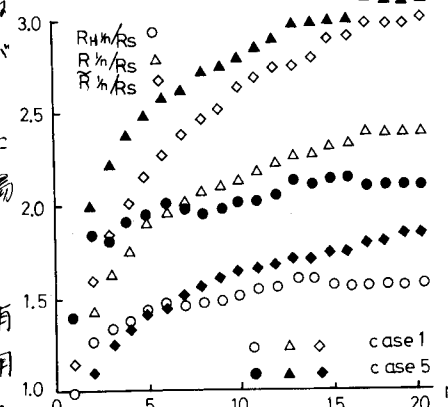


図-3 不規則波と規則波の週上高さの相関性

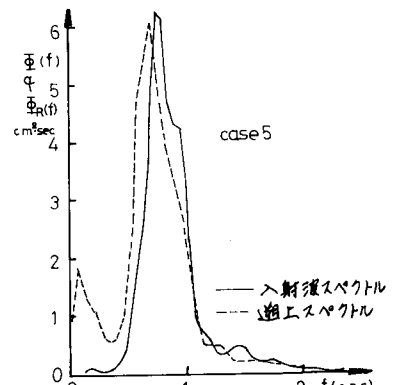


図-4 週上高さのスペクトル